

Výpočet rámových konstrukcí s pruty namáhanými šikmým ohybem

Deformace průlezového prvku prutu namáhaného šikmým ohybem. Zavedení pojmu náhradní moment setrvačnosti pro šikmý ohyb a koeficient příčné deformace. Deformace prutu. Prostorové působení rámu s pruty šikmo ohýbanými. Řešení přesné a přibližné. Při přibližném se řeší účinky prostorové oddělení od roviných a zjednodušen. Výpočet šikmeho sdruženého rámového mostu s vloženými kloubami. Číselné výsledky konkrétního projektu.

U šikmých rámových konstrukcí, vyskytujících se hlavně u mostů, jsou pilíře namáhaný šikmým ohybem, což způsobuje příčná namáhání a prostorové působení celé konstrukce. Ze statického hlediska mohou šikmě rámové mosty působit dvojím způsobem. Je-li poměr rozpětí k šířce nosného průzezu malý (menší než 3 až 5), působí konstrukce jako plošná, tj. desková nebo roštová, a pro ohyb v příčném směru jako nosné stěny. Je-li zminěný poměr velký (větší než 3 až 5), působí konstrukce v rovině i napříč rovinou rámu jako protová, a je tedy protovým rámem, působícím prostorově i při zatížení v jeho rovině. Dále se budeme zabývat pouze tímto typem konstrukcí.

Deformace prutu namáhaného šikmým ohybem

Všimněme si napřed deformace prvku délky dz prutu podle obr. 1. Nechť osy x , y leží v rovině průzezu a z nich y leží též v rovině rámu a x je na ní kolmá. Osy x_0 , y_0 jsou hlavní osy setrvačnosti průzezu, od nichž jsou osy x , y odkloněny o úhel α . Na prvek prutu délky dz nechť působí moment M v rovině (yz) rámu, který způsobí vzájemné pootočení $d\varphi$ sousedních průzezů kolem neutrální osy n , sdružené k ose y , jež je odkloněna od x_0 o úhel β .

Pro výpočet deformací je nutno moment M nahradit momenty $M \cos \alpha$ a $-M \sin \alpha$, otáčejícími kolem hlavních os setrvačnosti x_0 a y_0 , které způsobují deformace pouze v rovinách svého působení. Pootočení $d\varphi$ lze pak nahradit pootočením sousedních průzezů kolem os x_0 , y_0 , jež se rovnají

$$d\varphi_{x_0} = \frac{M}{EJ_{x_0}} \cos \alpha dz, \quad d\varphi_{y_0} = \frac{M}{EJ_{y_0}} \sin \alpha dz$$

kde a J_{x_0} , J_{y_0} značí hlavní momenty setrvačnosti, E modul pružnosti.

Promítnutím vektoru $(d\varphi_{y_0}, d\varphi_{x_0})$ do směru os x a y dostaneme, že celkové pootočení $d\varphi$ kolem neutrálné osy lze nahradit pootočením sousedních průzezů $d\varphi_x$, $d\varphi_y$ kolem os x , y odkloněných od hlavních os x_0 , y_0 o úhel α

$$d\varphi_x = \frac{M}{E} \left(\frac{\cos^2 \alpha}{J_{x_0}} + \frac{\sin^2 \alpha}{J_{y_0}} \right) dz,$$

$$d\varphi_y = \frac{M}{E} \left(\frac{1}{J_{y_0}} - \frac{1}{J_{x_0}} \right) \frac{\sin 2\alpha}{2} dz$$

Tyto výrazy můžeme též psát ve tvaru

$$d\varphi_x = \frac{M}{E} \frac{J_y}{J_{x_0} J_{y_0}} dz \quad (1)$$

$$d\varphi_y = \frac{M}{E} \frac{D_{xy}}{J_{x_0} J_{y_0}} dz \quad (2)$$

v nichž značí

$$J_y = J_{y_0} \cos^2 \alpha + J_{x_0} \sin^2 \alpha \quad (3)$$

moment setrvačnosti průzezu k ose y , ležící v rovině rámu, a

$$D_{xy} = \frac{1}{2} (J_{x_0} - J_{y_0}) \sin 2\alpha \quad (4)$$

deviační moment průzezu k osám x , y .

$$\text{Označme } J_a = \frac{J_{x_0} J_{y_0}}{J_y}, \quad (5)$$

Pak je

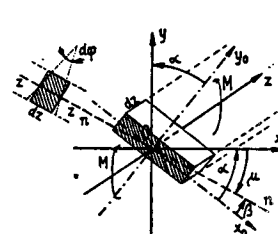
$$d\varphi_x = \frac{M}{EJ_a} dz \quad (6)$$

Hodnotu J_a nazveme *náhradním momentem setrvačnosti* při šikmém ohybu, neboť je jím určena deformace prutu průzezu v rovině momentu M , tj. zde v rovině rámu. Je to hodnota momentu setrvačnosti prutu přímo ohýbaného, který by měl v rovině působícího momentu stejně deformaci jako prut šikmo ohýbaný. Jeho hodnota se liší, a to někdy velmi značně, od hodnoty momentu setrvačnosti k ose x kolmé k rovině působícího momentu nebo od hodnoty momentu setrvačnosti ke sdružení neutrálnej osy n . Tato zámena je často chybána, což vede u šikmých mostů k výsledkům zkresleným až o několik set procent.

Označíme-li dále

$$\operatorname{tg}\mu = \frac{D_{xy}}{J_y} \quad (7)$$

můžeme psát



Obr. 1. Šikmo ohýbaný průlezový prvek prutu

$$d\varphi_y = d\varphi_x \operatorname{tg}\mu \quad (8)$$

Hodnotu $\operatorname{tg}\mu$ nazveme *koeficientem příčné deformace*. Snadno se lze přesvědčit, že úhel μ značí úhel odklonu neutrálnej osy n průzezu od osy x kolmé k rovině působícího momentu (obr. 1). Jako takový je možno vypočít jej též ze vztahu

$$\mu = \beta - \alpha, \quad \operatorname{tg}\beta = \frac{J_{x_0}}{J_{y_0}} \operatorname{tg}\alpha \quad (7')$$

Deformace prutu šikmo ohýbaného

Všimněme si dále deformace celého prutu (obr. 2). Uvažujeme přímý prut průzezu obecně proměnného, délky l , zatížený ohýbovými momenty M v rovině (yz) . Nechť počáteční průzez má pootočení φ_{x_0} , φ_{y_1} a průhyby x_1 , y_1 a koncový průzez má pootočení φ_{x_2} , φ_{y_2} a průhyby x_2 , y_2 . Potom vzájemná pootočení počátečního a koncového průzezu jsou¹⁾.

¹⁾ U křivých prutů platí obdobné vztahy, avšak výpočet je komplikovanější tím, že úhel α vlivem zakřivení střednice je proměnný.

$$\left. \begin{aligned} \varphi_{x_2} - \varphi_{x_1} &= \int_0^l \frac{M}{E\bar{J}_a} dz \\ \varphi_{y_2} - \varphi_{y_1} &= \int_0^l \frac{M}{E\bar{J}_a} \operatorname{tg}\mu dz \end{aligned} \right\} \quad (9a)$$

$$\left. \begin{aligned} y_2 - y_1 &= \int_0^l \frac{M}{E\bar{J}_a} (l-z) dz \\ x_2 - x_1 &= \int_0^l \frac{M}{E\bar{J}_a} (l-z) \operatorname{tg}\mu dz \end{aligned} \right\} \quad (9b)$$

Je-li ve všech průřezech prutu hodnota $\operatorname{tg}\mu$ konstantní, tj. úhel α a poměr $\bar{J}_{yo}/\bar{J}_{xo}$ neměnné, což obvykle bývá, lze psát

$$\varphi_{y_2} - \varphi_{y_1} = (\varphi_{x_2} - \varphi_{x_1}) \operatorname{tg}\mu \quad (10a)$$

$$x_2 - x_1 = (y_2 - y_1) \operatorname{tg}\mu \quad (10b)$$

Dodejme ještě, že deformační práce π ohybových momentů prutu šikmo ohýbaného je rovna

$$\pi = \frac{1}{2} \int_0^l \frac{M^2}{E\bar{J}_a} dz$$

Prostorové působení rámu

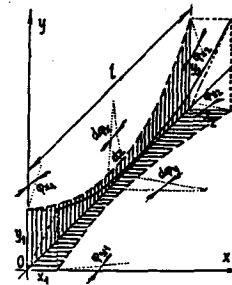
Rovinná a rovinně zatížená rámová konstrukce s pruty namáhanými šikmým ohybem nepůsobí jako rovinná, nýbrž jako prostorová. Šikmo ohýbané pruty vyvolají příčné deformace všech prutů rámu, jež se projeví ohybovými momenty a posouvajícími silami v rovinách kolmých na rám a normálními silami, a dále zkroucení prutů, jež se projeví krouticími momenty. Vnější zatížení se pak přenáší nejen ohybovými momenty a posouvajícími silami v rovině rámu a normálními silami, ale též krouticími a ohybovými momenty a posouvajícími silami napříč rámu.

Na základě dříve uvedených vztahů lze provést přesný výpočet prostorového působení rámu. Nejnázornější je výpočet silovou metodou.²⁾ Uvolníme tolik vazeb, tj. podpor, kloubů nebo průřezů, až konstrukce přejde v základní soustavu (staticky určitou nebo též neurčitou). Místo vazeb zavedeme staticky neurčité veličiny, jichž bude značně více, než kdyby rám působil jako rovinná konstrukce. Tak např. při uvolnění vektoru je třeba zavést místo tří šest staticky neurčitých, a to ohybové momenty a posouvající síly v rovině rámu a napříč rámu, krouticí moment a normálnou силu. Na základní soustavě dáme pak místo staticky neurčitých veličin působit jednotkovým silám a určíme jimi způsobené deformace ve smyslu všech staticky neurčitých, při jejichž výpočtu musíme zahrnout vliv příčných deformací prutů. Dostaneme tak koeficienty δ_{ik} silové metody. Z nich sestavíme pro staticky neurčité systém lineárních rovnic, jichž bude značně více než kdyby konstrukce působila jako rovinná.

Pro koeficienty δ_{ik} lze užitím principu virtuálných prací sestavit snadno obecnou rovnici. Je vhodné a také vždy možno staticky neurčité veličiny zavést tak, že veličiny X_r působí pouze v rovině rámu a zbývající veličiny X_s pouze kolmo na rovinu rámu. Zatížení veličinami X_r , pak

²⁾ Řešení některou deformační metodou je též možné, avšak nepřináší velkou výhodu, protože v prostoru není obyčejně převrácená neurčitost o tolik menší než statická, jako je tomu v rovině.

na základní staticky určité soustavě působí namáhání pouze v rovině rámu a zatížení veličinami X_s pouze napříč rámu. Nechť na základní staticky určité soustavě způsobi zatížení veličinou $\bar{X}_r = 1$ ohybové momenty \bar{M}_r v rovině rámu, zatížení veličinou $\bar{X}_s = 1$ ohybové momenty \bar{M}_s napříč rámu a vnější zatížení v rovině rámu ohybové momenty M v rovině rámu. Z velikosti virtuálné práce momentů M_r resp. M na složkách pootočení v rovině rámu od momentu \bar{M}_s plyne, že deformace δ_{rs} od zatížení veličinou $\bar{X}_r = 1$ ve smyslu veličiny X_s se rovná



Obr. 2. Ohybová čára šikmo ohýbaného prutu a její složky

$$\delta_{rs} = \delta_{sr} = \int \bar{M}_r \bar{M}_s \operatorname{tg}\mu \frac{ds}{E\bar{J}_a} \quad (11a)$$

a deformace δ_s od vnějšího zatížení ve smyslu veličiny X_s

$$\delta_s = \int M \bar{M}_s \operatorname{tg}\mu \frac{ds}{E\bar{J}_a} \quad (11b)$$

Zde značí \bar{J}_a náhradní momenty setrvačnosti v rovině rámu a O integraci přes všechny pruty konstrukce. Hodnota $\operatorname{tg}\mu$ je kladná, mají-li momenty \bar{M}_s a M resp. \bar{M}_r ke hlavní centrálné ose setrvačnosti s menším momentem setrvačnosti složky stejného smyslu. Též lze psát

$$\delta_{rs} = \int \bar{M}_r \bar{M}_s \frac{D_{xy}}{\bar{J}_{xo} \bar{J}_{yo}} ds$$

$$\delta_{sr} = \int M \bar{M}_s \frac{D_{xy}}{\bar{J}_{xo} \bar{J}_{yo}} ds$$

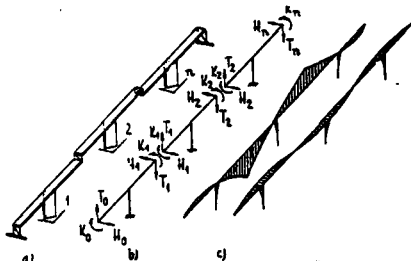
Ostatní koeficienty δ_{ik} určující vzájemný vliv dvou staticky neurčitých veličin, působících v rovině rámu nebo napříč rámu, se vypočtou podle běžných vzorců.

Vyma některých jednoduchých případů, jako např. šikmý dvoukloboukový rám, je přesný výpočet velmi pracný. Ve většině případů však je tuhost trámu v kroucení značně menší než tuhost pilíře v příčném ohybu. Příčné ohybové momenty jsou pak mnohonásobně menší (pozadujeme aspoň 10 až 20krát) než ohybové momenty v rovině rámu a výsledný moment na pilíři působí tedy i v staticky neurčité konstrukci přibližně v rovině rámu. V těchto případech zcela postačí přibližný výpočet, který se skládá ze dvou fází:

1. Zanedbáme vliv prostorových příčných účinků na momenty a posouvající síly v rovině rámu a počítáme rám jako rovinný, přičemž však u prutů šikmo ohýbaných dosazujeme jejich náhradní momenty setrvačnosti podle rovnice (6).

2. Prostorové účinky, tj. krouticí a ohybové momenty a posouvající síly napříč rámu, vypočteme pak odděleně na základě hodnot momentů a posouvajících sil v rovině rámu, vypočtených podle bodu 1 pro zatížení vyvolující největší účinky. Toto zatížení nejlépe určíme a hodnoty podle bodu 1 vypočteme pomocí příčkových čar příčných deformací, jež jsou ohybovými čarami pro příslušnou příčnou deformaci; bývá to obyčejně zatížení, které vyvoluje největší ohybový moment v pilíři. Přitom lze většinou počítat krouticí momenty odděleně od ohybových momentů a posouvajících sil napříč rámu. Podle povahy rámu též lze, jak ukážeme na příkladě, zjednodušit statický systém

iž i na jedenkrát staticky neurčitý). Zvolíme jeho základní soustavu a pomocí koeficientů $\operatorname{tg} \mu$ vypočteme pro namáhání od vnějšího zatížení podle bodu 1 a od jednotkových hodnot staticky neurčitých její příčné deformace (podle rov. (8)), z nichž pak silovou metodou vypočteme prostorové účinky.



Obr. 3. Šikmý sdružený rám s vloženými klouby
a) statický systém; b) základní soustava; c) svislá a vodorovná složka ohybové čáry při zatížení lichých polí

Přitom zde musí být splňena přibližným výpočtem předpokládaná podmínka, že vypočtené příčné momenty v šikmo ohýbaných pilířích musí být nejméně 10 až 20krát menší než ohybové momenty v rovině rámu.

Prostorové účinky není třeba vůbec vyčíslovat pro málo šikmé mosty, u kterých koeficient příčné deformace pilířů je zhruba menší než 0,05 až 0,20. Nejnebezpečnějším prostorovým účinkem u mostů je kroucení trámu a případného kloubu v poli a vodorovná posouvající síla v kloubu. Velikost prostorových účinků roste s výškou pilíře a s jeho klesající tuhostí v ohybu. Je větší, je-li šikmo ohýbaný pilíř namáhan momentem stejněho znaménka, jako je tomu u veknututého rámu s vloženými posuvnými klouby v poli, než když je moment různého znaménka, jako je tomu u téhož rámu bez kloubů nebo částečně u dvoukloubového rámu.

Šikmý sdružený rám s vloženými klouby

Pro názornost konkrétně uvažujeme šikmý sdružený rám s vloženými klouby uprostřed polí, umožňujícími vodorovný posun a pootočení v rovině rámu a pootočení ve vodorovné rovině (stat. schéma na obr. 3a). Tento rám, jenž by v rovině byl $(n+1)$ krát staticky neurčitý, je v prostoru $3(n+1)$ -krát staticky neurčitý a téhož počtu rovnic bylo by třeba k jeho přesnému řešení. Základní soustavu zvolíme podle obr. 3b se staticky neurčitými $T_0, \dots, T_n, K_0, \dots, K_n, H_0, \dots, H_n$. Šikmý ohyb pilířů v rovině rámu vyvolá jejich ohyb napříč rovinou rámu, z toho dale vznikne zkroucení a vodorovný ohyb trámu, tím pak zpětné zkroucení pilířů a další příčný ohyb atd.

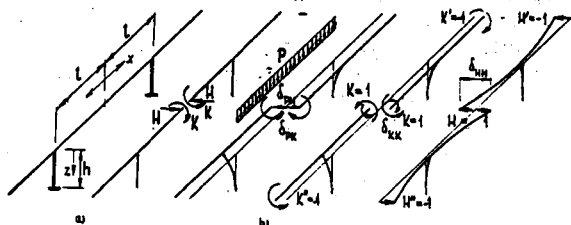
Při přibližném výpočtu zvolíme pro výpočet krouticích momentů K a vodorovných posouvajících sil H ve vnitřním poli podle bodu 2 zjednodušenou základní soustavu tvořenou jedním polem při jediné neurčité K nebo H . Pilíře jsou od svislého zatížení namáhaný po celé výšce stejnými momenty, jež označíme M_{p1} . Snadno nahlédneme, že nejúčinnějším zatížením pro K a H je to, které vyvodí největší rozdíl ohybových momentů M_{p2} a M_{p1} v pilířích tohoto pole. Příčinkovou čáru ($M_{p2} - M_{p1}$) dostaneme jako rozdíl příčinkových čar M_{p1} a M_{p2} (např. obr. 6). Nejúčinnějším je zatížení buď sudých nebo lichých polí. Při tomto zatížení vznikají v sousedních polích K a H opačného znaménka (a u rámu s nekonečným počtem polí stejně absolutní hodnoty). Protože pilíře bývají v příčném ohybu a v kroucení značně tužší než trám v kroucení a v příčném ohybu,

přenáší se K a H z trámu převážnou částí do pilíře a jen zanedbatelně do sousedního pole. Je proto možné pro výpočet K a H za statický systém uvažovat rám tvořený jedním polem s přilehlými konzolami o dvou staticky neurčitých K a H v kloubu tohoto pole, jejichž vzájemný vliv lze obvykle zanedbat. Hodnotu K nebo H pak dostane řešením jedné lineární rovnice.

Nechť všechny pilíře mají stejně J_a pro ohyb v rovině rámu a J_a pro ohyb napříč rámu, stejnou výšku h a stejný $\operatorname{tg} \mu$ a nechť konzoly vnitřních polí mají stejnou délku l a stejné momenty setravnosti J pro ohyb ve vodorovném směru, J' ve vodorovném a J_k v kroucení. Označme dále x vzdálenost průřezu konzoly od kloubu a z vzdálenost průřezu pilíře od jeho hlavy a G modul pružnosti ve smyku (obr. 4a). Na staticky neurčité soustavě uvolníme jedinou staticky neurčitou K nebo H (obr. 4a) a vypočteme deformace δ_{pK} nebo δ_{pH} od svislého zatížení ve smyslu této veličiny (obr. 4b). Při použití vzorců (6) a (8) obdržíme

$$\left. \begin{aligned} \delta_{pK} &= 2 \operatorname{tg} \mu \int_0^h \frac{M_{p2} - M_{p1}}{E J_a} dz, \\ \delta_{pH} &= 2 \operatorname{tg} \mu \int_0^h \frac{M_{p2} - M_{p1}}{E J_a} z dz \end{aligned} \right\} \quad (12)$$

Potom zavedeme zatížení $K = 1$ nebo $H = 1$, přičemž vzhledem k tomu, že v sousedních polích vznikají K a H



Obr. 4. Statický systém pro výpočet prostorových účinků

opačného znaménka, dáme působit na konzoly sousedních polí krouticímu momentu -1 nebo vodorovné posouvající síle -1 . Od tohoto zatížení určíme pootočení δ_{KK} nebo posunuti δ_{HH} (obr. 4 b)

$$\left. \begin{aligned} \delta_{KK} &= 2 \int_0^l \frac{dx}{G J_k} + 4 \int_0^h \frac{dz}{E J_a}, \\ \delta_{HH} &= 2 \int_0^l \frac{x^2}{E J'} dx + 4 \int_0^h \frac{z^2}{E J'_a} dz \end{aligned} \right\} \quad (13)$$

Odtud pak vypočteme

$$K \doteq \frac{\delta_{pK}}{\delta_{KK}}, \quad H \doteq \frac{\delta_{pH}}{\delta_{HH}} \quad (14)$$

Zanedbali jsme přitom vzájemný vliv K a H , protože deformace od K a H jsou obvykle proti δ_{pK} nebo δ_{pH} zanedbatelně malé.

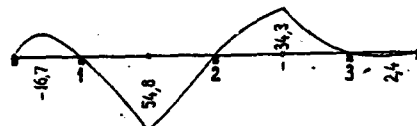
Jestliže se však tuhost trámu v kroucení příliš neliší od tuhosti pilíře v příčném ohybu, byla by chyba tohoto přibližného výpočtu příliš velká a je třeba počítat obdobným způsobem na základní soustavě tvořené více polí. Není-li však splněna podmínka přibližného výpočtu, že $2K < 1/10$ až $1/20 M_p$ v rovině rámu, je nutno provést přesný výpočet.

Příklad

Pro představu o možné velikosti prostorových účinků uvedme hodnoty, které byly získány při projektu velmi šikmého železničního dvoukolejněho mostu přes Vltavu v Praze. Bylo zjištěno, že prostorové účinky od šikmosti jsou v některých místech velmi značné, někde i rozhodující a jinde zase zanedbatelné.



Obr. 5. Podélní a vodorovný řez mostu



Obr. 6. Příčinková čára ($M_{p2} - M_{p1}$), rozměr m

Most byl navržen jako sdružený rám s vloženými kloubami z předpjatého betonu, betonovaný letmo (obr. 5). Most má čtyři pole rozpětí $63,0 + 114,0 + 114,0 + 63,0$ m. Průřez konzol je dvojitá komůrka, jež má u pilíře výšku 6,7 m a moment setrvačnosti 105 m^4 a u kloubu 2,8 m resp. $7,5 \text{ m}^4$. Pilíře, jejichž šikmost k podélné ose mostu je 45° , mají tloušťku 4,0 m délku 19,65 m a výšku 11,5 m. Jejich hlavní momenty setrvačnosti jsou 91 m^4 a 2046 m^4 , takže je náhradní moment setrvačnosti $\tilde{\gamma}_c = 175 \text{ m}^4$ a koeficient příčné deformace $\operatorname{tg}\mu = 0,915$. Když bychom za moment setrvačnosti pilíře vzali moment k ose kolmé na osu mostu, který je 1069 m^4 , nebo moment ke sdružené neutrálné ose, jenž je 100 m^4 , jak se často nesprávně dělá, dopustili bychom se hrubé chyby. Jak je vidět, zvyšuje šikmost mostu tuhost pilířů v rovině rámu.

Staticky byl most vypočítán přibližným způsobem podle předešlého odstavce. Prostorové účinky byly počítány pomocí příčinkové čáry ($M_{p2} - M_{p1}$) (obr. 6). Byly získány tyto hodnoty:

Označení: index (C) ... centrické zatížení vlaky na obou kolejích, index (E) ... od excentricity zatížení vlakem na jedné kolejí, K ... krouticí moment, H ... vodorovná posouvající síla, T ... svislá posouvající síla.

V konzole vnitřního pole: $K^{(C)} = + 470 \text{ tm}$ nebo $- 350$

tm, $H^{(C)} = + 20 \text{ t}$ nebo $- 15 \text{ t}$, u kloubu $K^{(E)} = \pm 300 \text{ tm}$, v lici pilíře $K^{(E)} = \pm 1300 \text{ tm}$, $M = - 90000 \text{ tm}$, $M_{\text{voda}, H}^{(C)} = 1100 \text{ tm}$ ($\delta_{\text{bez}}^{(C)} = \pm 3,0 \text{ kg/cm}^2$) V konzole krajního pole: $K^{(C)} = - 300 \text{ tm}$ nebo $+ 100 \text{ tm}$, $H^{(C)} = - 13 \text{ t}$ nebo $+ 4 \text{ t}$, u kloubu nad opěrou $K^{(E)} = \pm 670 \text{ tm}$, v lici pilíře $K^{(E)} = \pm 970 \text{ tm}$

Smyková napětí τ stěny konzoly vnitřního pole:

u kloubu v místě největ. v lici pilíře
hlavního tahu

	od svislé pos. síly	22 kg/cm ²	12 kg/cm ²
$\tau_T^{(C)}$ od kroucení	4,5	3,2	0,8
$\tau_K^{(E)}$	3,0	3,3	2,0
τ celkové nejnebezpečnější	18	25	14

Svislé zatížení P krajního ložiska při 1,5násobném pohyblivém zatížení: v kloubu vnitřního pole $P_T^{(C)} = + 47 \text{ t}$ nebo $- 57 \text{ t}$, $P_K^{(C)} = \pm 44 \text{ t}$, nad opěrou při záporné reakci $P_T^{(C)} = + 10 \text{ t}$, $P_K^{(C)} = + 42 \text{ t}$.

Ohybový moment ve středním pilíři a základu: napříč rámu $M_p^{(C)} = \pm 820 \text{ tm}$, $M_p^{(E)} = \pm 2600 \text{ tm}$, v rovině rámu $M_p^{(C)} = \pm 38000 \text{ tm}$.

Možnost přibližného výpočtu potvrdilo to, že vyšlo $2K^{(C)} = 1/40 M_p^{(C)}$.

Z porovnání vidíme, že účinky prostorového působení vlivem šikmosti mostu jsou rozhodující pro bezpečnost proti nadzdvižení z ložisek nad opěrou, kde činí 420 % roviných. V kloubu vnitřního pole jsou též důležité, neboť činí 94 % roviných. Významně se dále podílejí na hlavním napětí v tahu. V průřezu u kloubu, kde je stěna nejslabší, zvyšují mykové napětí o 32 %, v průřezu s největším hlavním tahem o 15 %. Důležitá je též vodorovná posouvající síla kloubu, zejména při odlehčených ložiskách. Pro normální napětí betonu konzoly má prostorové působení malý vliv (2 %) a stejně tak pro namáhání pilíře a základové spáry.

Z uvedených výsledků plyne, že u velmi šikmého rámového mostu neru možno účinky prostorového působení vlivem šikmosti zanedbat, což platí zejména pro výpočet mykových napětí a pro dimenzování ložisek a jejich bezpečnost proti nadzdvižení.

Závěrem lze říci, že u šikmých rámových konstrukcí je správné u šikmo ohýbaných prutů počítat s náhradními momenty setrvačnosti pro šikmý ohyb a při velkých šikmostech že je nutno počítat též účinky prostorového působení vlivem šikmosti.